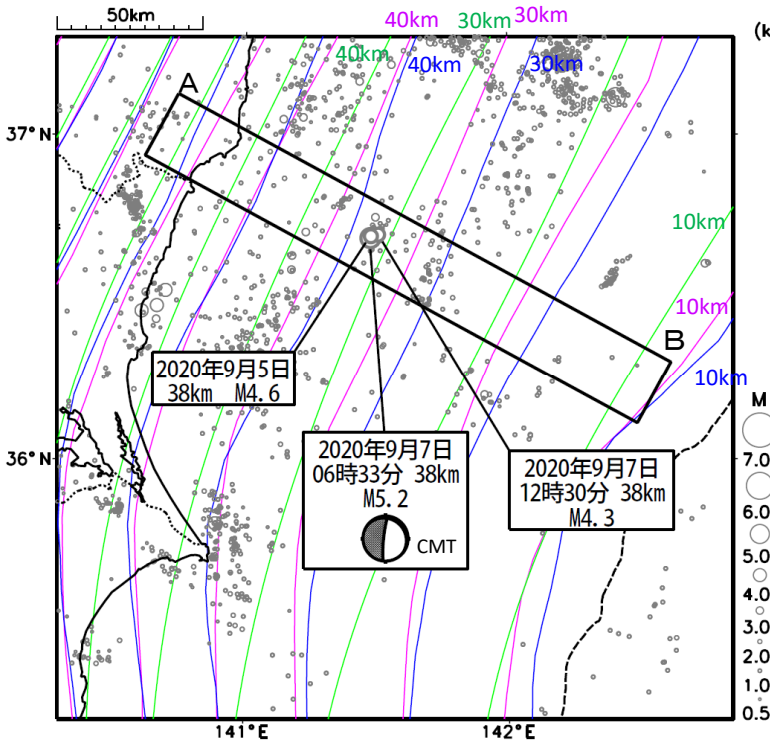
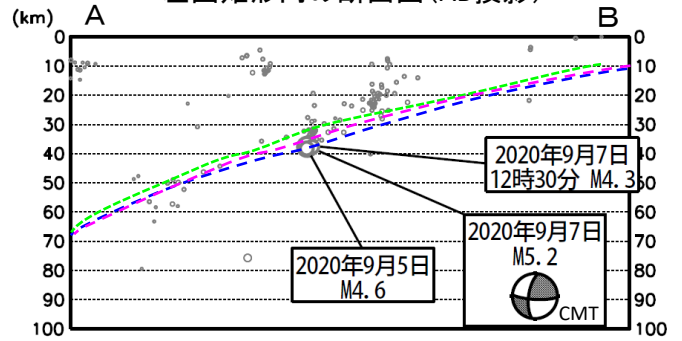


9月7日茨城県沖の地震(付近プレートモデル及び震源分布)

震央分布図(2020年9月1日~27日、M \geq 0.5、100km以浅)



左図矩形内の断面図(AB投影)



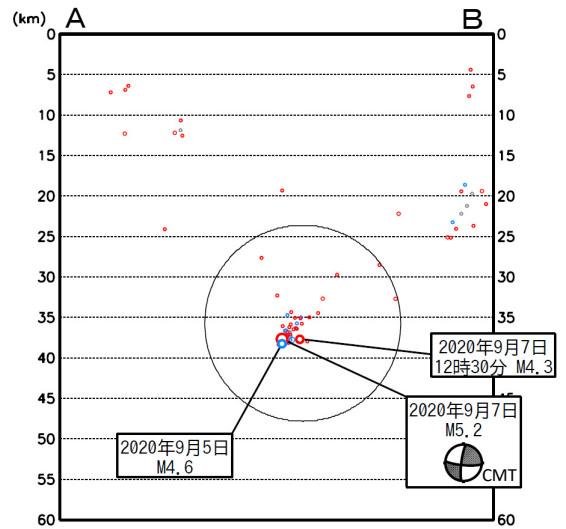
青、緑、紫の各線は以下モデルによる太平洋プレート上面の深さの等深線

青: Nakajima and Hasegawa (2006)及び Nakajima et al. (2009)

緑: Iwasaki et al.(2015)及び Lindquist et al.(2004) (日本列島域モデル)

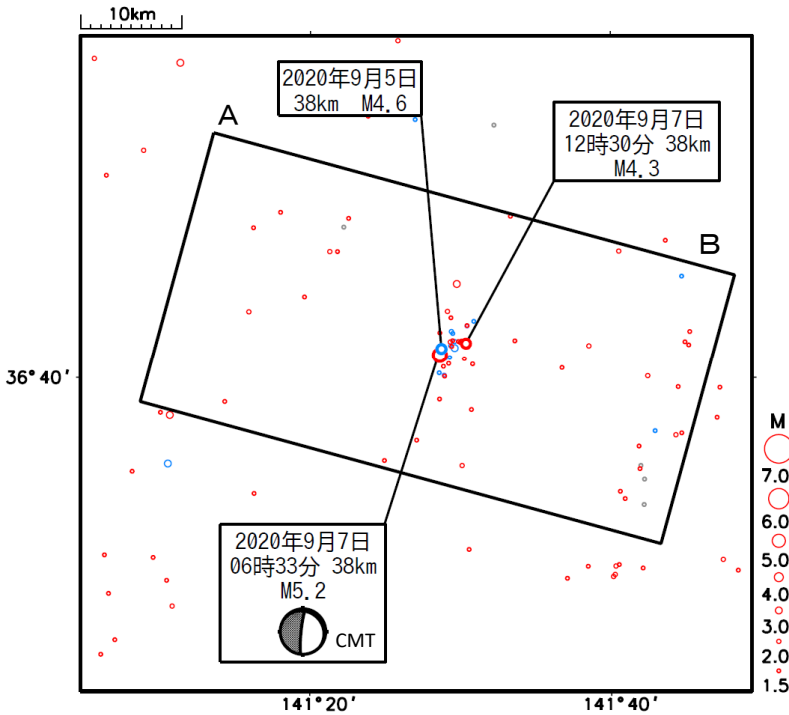
紫: 内閣府(2013)

左図矩形内の断面図(AB投影)

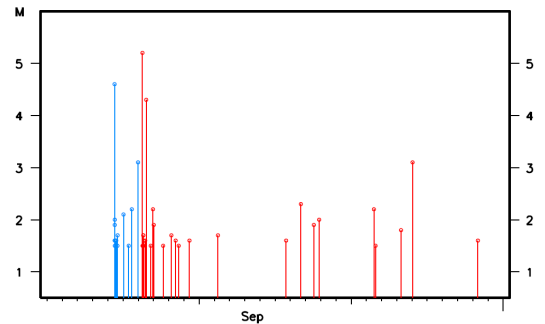


震央分布図(2020年9月1日~30日、M \geq 1.5、60km以浅)

9月5日M4.6の地震より前を灰、M4.6の地震~9月7日M5.2の地震より前を青、M5.2の地震以降を赤で表示



上図円内のMT図



(引用文献)

Nakajima, J., and A. Hasegawa (2006), Anomalous low-velocity zone and linear alignment of seismicity along it in the subducted Pacific slab beneath Kanto, Japan: Reactivation of subducted fracture zone?, *Geophys. Res. Lett.*, 33, L16309, doi: 10.1029/2006GL026773.
 Nakajima, J., F. Hirose, and A. Hasegawa (2009), Seismotectonics beneath the Tokyo metropolitan area, Japan: Effect of slab-slab contact and overlap on seismicity, *J. Geophys. Res.*, 114, B08309, doi:10.1029/2008JB006101.
 Iwasaki, T., Sato, H., Shinohara, M., Ishiyama, T. & Hashima, A., 2015. Fundamental structure model of island arcs and subducted plates in and around Japan, 2015 Fall Meeting, American Geophysical Union, San Francisco, Dec. 14-18, T31B-2878.
 Lindquist, K. G., K. Engle, D. Stahlke, and E. Price (2004), Global Topography and Bathymetry Grid Improves Research Efforts, *Eos Trans. AGU*, 85(19), 186. <http://onlinelibrary.wiley.com/doi/10.1029/2004EO190003/abstract>
 内閣府(2013): 首都直下のM7クラスの地震及び相模トラフ沿いのM8クラスの地震等の震源断層モデルと震度分布・津波高等に関する報告書, 45p.